



ژرفاسنجی و برآورد حجم آب مخازن با استفاده از تصاویر حسگر OLI

حسن حبیبی خاوه^۱, محمد علی غلامی سفیدکوهی^۲ و علیرضا عمادی^۳

۱- دانشجو دکتری آبیاری و زهکشی، دانشگاه علوم کشاورزی و منابع طبیعی، ساری

۲- دانشیار، گروه مهندسی آب دانشگاه علوم کشاورزی و منابع طبیعی، ساری، (تویینده مسؤول: ma.gholami@sanru.ac.ir)

۳- دانشیار، گروه مهندسی، آب دانشگاه علوم کشاورزی و منابع طبیعی ساری

تاریخ دریافت: ۹۵/۴/۲۰ تاریخ پذیرش: ۹۶/۱۰/۱۰

صفحه ۵۷ تا ۴۶

چکیده

به کارگیری روش‌های میدانی ژرفاسنجی به منظور برآورد ژرفای و حجم آب در مخازن، مستلزم صرف هزینه و زمان زیادی است. در همین راستا روش‌های متعدد سنجش از دور مورد ارزیابی قرار گرفته است. در این پژوهش روشی برای مدل تابش و بازتابش برای برآورد ژرفای و حجم آب با استفاده از تصاویر باندهای حسگر OLI معرفی شد. ابتدا در ۲۷ اردیبهشت ۹۴ با استفاده از قایق و ژرفاسنج صوتی، ژرفای آب باندان‌های مهدف است، سوربن و دستنماز با فواصل ۵۰ متری اندازه‌گیری و سپس در روزهای ۵ خرداد و ۱۴ مرداد ۹۴ و همچنین ۸ خرداد، ۹ تیر و ۲ شهریور ۹۵ مقدار اشل ثبت و ژرفای و حجم‌های دقیق آب تعیین شد. سپس ضریب تبیین مقادیرسلولی تصاویر و ژرفای اندازه‌گیری شده محاسبه شد. متوسط مقدار ضریب تبیین برای باندان‌های شد. بهترین مقدار ضریب همیستگی به گونه‌ای نبود که بتوان از روش سنجش از دور برای تعیین دقیق ژرفای آب در هر کدام از پیکسل‌ها بهره برد. سپس با استفاده از روش طبقه‌بندی ژرفایی حجم آب آب باندان‌ها با استفاده از باندهای مذکور و شاخص منتخب تخمین و در نهایت مقدار ضریب تبیین و خطای نسبی میان حجم برآورده شده و واقعی محاسبه شد. میانگین ضرایب همیستگی حجم حاصل از تصاویر باندان‌ای ۴، ۳، ۲، ۱ و ۰ به ترتیب ۰/۳۸، ۰/۴۳، ۰/۴۸ و ۰/۶ بود. با توجه به نتایج فوق باندهای ۲ و ۳ حذف و برای بهبود همیستگی به کمک باندان‌های ۴، ۵ و ۶ شاخص‌های نسبت‌باندی و تفاضل نرمال تولید و در ادامه ضریب تبیین ژرفای اندازه‌گیری شده و شاخص‌های مذکور محاسبه شد و شاخص IV (تفاضل نرمال باند ۴ و ۶) با مقدار ۶۲ درصد به عنوان شاخص منتخب معرفی شد. در مجموع ضرایب همیستگی به گونه‌ای نبود که بتوان از روش سنجش از دور ژرفایی حجم آب در هر کدام از پیکسل‌ها بهره برد. سپس با استفاده از روش طبقه‌بندی ژرفایی حجم آب آب باندان‌ها با استفاده از باندهای مذکور و شاخص منتخب تخمین و در نهایت مقدار ضریب تبیین و خطای نسبی میان حجم برآورده شده و واقعی محاسبه شد. میانگین ضرایب همیستگی حجم حاصل از تصاویر باندان‌ای ۴، ۳، ۲، ۱ و ۰ به ترتیب ۰/۹۴، ۰/۹۳، ۰/۹۶ و ۰/۹۵ با میانگین خطای نسبی ۹/۳، ۸/۳، ۸/۱ و ۸/۸ درصد محاسبه شد. متوسط مقدار همیستگی خطای و خطای نسبی حاصل از شاخص IV به ترتیب ۰/۹۶ و ۰/۹۷ درصد به دست آمد. به این ترتیب برآورد حجم آب مخازن با روش طبقه‌بندی ژرفایی شاخص منتخب می‌تواند با خطای کمی جایگزین اندازه‌گیری میدانی شود.

واژه‌های کلیدی: سنجش از دور، آب باندان، ژرفاسنج صوتی، طبقه‌بندی ژرفایی، مدل تابش و بازتابش

از تصاویر حسگرهای مختلف مورد توجه پژوهش‌گران بوده است (۲۵). ژنگویونگ و همکاران (۶) از تصاویر چند طیفی کوئیکبرد و حسگر ETM+ لندست ۷ در زمان‌های متفاوت به منظور تعیین ژرفای آب مخزن بیلون استاری چن ایستفاده نمودند. نتایج این پژوهش نشان داد تصاویر باندهای فرسوسخ نزدیک دو حسگر برای به دست آوردن خط جزر و مدي آب زمانی که داده‌های قابل مشاهده وجود ندارد قابل استفاده است. همچنین مدل بهبود یافته چندطیفی استامف و همکاران (۲۰) برای برآورد ژرفای آب زمانی که اطلاعات محلی وجود ندارد مناسب است. ازکلیک و همکاران (۱۶) به منظور استخراج نقشه‌های ژرفاسنجی آب‌های کم‌ژرف از تصاویر سنجش از دور به جای اندازه‌گیری میدانی ژرفای روش شبکه عصبی مصنوعی در سواحل غربی فوکای ازمیر ترکیه مطالعاتی را انجام دادند. نتایج نشان داد ساختار این روش نسبت به روش‌های مرسوم در برآورد ژرفای قابل اعتمادتر است و روش ارائه شده می‌تواند زمان اندازه‌گیری ژرفای موردنیاز را در نقشه‌برداری ژرفاسنجی به ویژه برای برنامه مهندسی مقدماتی کاهش دهد. مجوزی و همکاران (۱۱) با به کارگیری روش سنجش از دور و با استفاده از داده‌های حسگر مرسی، ژرفای آب‌های کم‌ژرف دریاچه نایوانشای کشور کنیا را برآورد نمودند. حسگر مرسی بر روی ماهواره Envisat اروپا با تکیک مکانی ۳۰۰ متر در سال ۲۰۱۲ در مدار قرار گرفت. روش آنها استفاده از الگوریتم شبکه عصبی و الگوریتم بهینه

مقدمه

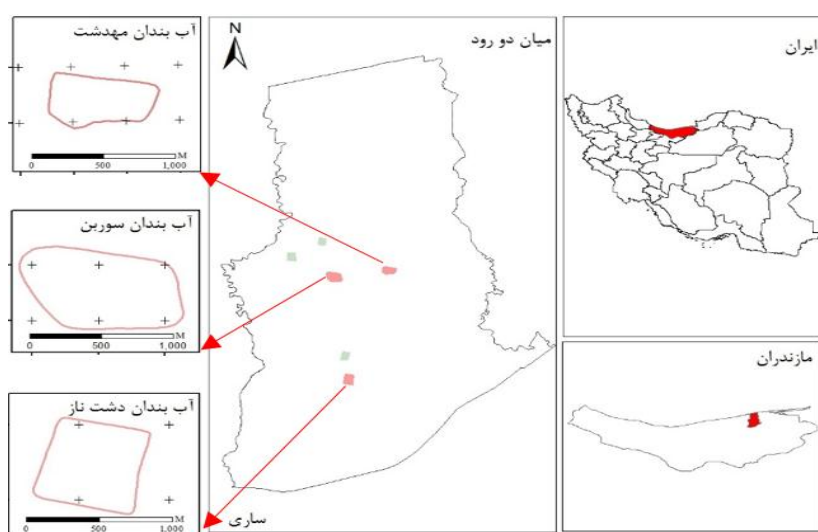
سنچش از دور در موارد متعددی در مدیریت حوزه آبخیز مورد استفاده قرار گرفته است (۱۸، ۱). یکی از این موارد پایش مکانی و زمانی میزان ژرفای و حجم آب ذخیره شده در مخازن است (۲۴). در نواحی مرطوب و پربارش، آب باندان به عنوان یک منبع با اهمیت تأمین آب کشاورزی محسوب می‌شود و از دیرباز برای تأمین آب موردنیاز مراکز شهری، کشت و صنعت و پرورش ماهی استفاده شده است (۱۹). روش‌های مرسوم ژرفاسنجی با استفاده از ژرفاسنج صوتی و قایق مستلزم صرف هزینه و زمان زیادی است (۲۰، ۲). در سال‌های اخیر این تکنیک همراه با افزایش وضوح تصاویر ماهواره‌ای، به یک فناوری قابل اطمینان در پایش طرح‌های مدیریت منابع آبی تبدیل شده است (۲۳). از سنجش از دور برای تهیه مدل بازتاب برای آب‌های کم‌ژرف به منظور شبیه‌سازی رایانه‌ای و جاگزینی با اندازه‌گیری‌های میدانی توسعه پژوهش‌گران استفاده شده است (۱۷، ۱۴، ۱۵). در این فرآیند، طیف تابشی یا بازتابشی پس از جذب، پراکندگی و بازتاب از بستر، به حسگر رسیده و مدل ژرفای پیکره‌های آبی تعیین می‌شود (۱۲). پژوهش‌هایی در مورد استفاده از تصاویر سنجش از دور برای برآورد ژرفای آب در مناطق مختلف جهان صورت گرفته است (۳). عمدۀ پژوهش‌ها برای مخازن کم‌ژرف و با استفاده از تصاویر گرفته شده در فصل تابستان و با طول موج بازتاب شده از تابش خورشیدی انجام شده است (۲۲، ۷). استفاده توأم

مذکور در چهار دوره زمانی شامل تابستان و پائیز سال ۲۰۱۳ و بهار و تابستان سال ۲۰۱۴ ثبت نمودند. نتایج نشان داد که از بین باندهای آبی، سبز، قرمز و فروسرخ، بازتاب طیفی باند قرمز (باند ۴) با $R^2=0.82$ و $RMSE=0.0269$ در برآورد با استفاده از داده کلی (۳ ماهه) و $R^2=0.95$ و $RMSE=0.0230$ در برآورد با استفاده از داده یکماهه در مرحله تست بیشترین همیستگی را با میزان ژرفای آب داشت. در پژوهش حاضر با توجه به مزایای جایگزینی روش سنجش از دور به جای اندازه‌گیری میدانی ژرفای و حجم آب در پیکرهای آبی از جمله هزینه اقتصادی کمتر، پوشش مکانی وسیع، زمان پردازش کوتاه و تکرارپذیری در فواصل زمانی کم، امکان استفاده از تصاویر حسگر OLI ماهواره لندست ۸ به منظور ژرفاسنجی مخازن کم ژرفای و همچنین ارائه روشی برای برآورد حجم آب مخازن مذکور مورد بررسی قرار گرفت.

مواد و روش‌ها

آب‌بندان‌های شرکت کشت و صنعت مهدشت به مساحت ۲۶/۵۷ هکتار با بیشینه ژرفای ۶/۵ متر و حجم ۱/۵ میلیون مترمکعب، روستای سورین به مساحت ۴۸/۹۸ هکتار با بیشینه ژرفای ۵ متر و حجم ۲ میلیون مترمکعب و شرکت دشت‌ناز به مساحت ۴۳ هکتار با بیشینه ژرفای ۸/۵ متر و حجم ۳ میلیون مترمکعب در دشت میان دورود در شمال شرقی شهر ساری در استان مازندران واقع شده‌اند. میان دورود از شمال به دریای خزر، از جنوب به جاده ساری- نکا، از شرق به نکارود و از غرب به رودخانه تجن محدود و بین عرض جغرافیایی ۳۶ درجه و ۳۳ دقیقه تا ۳۶ درجه و ۴۹ دقیقه شمالی و طول جغرافیایی ۵۳ درجه و ۴ دقیقه تا ۵۳ درجه و ۱۷ دقیقه شرقی واقع شده است (شکل ۱). بر اساس آمار سازمان هواشناسی کشور، میانگین بارش سالانه منطقه ۶۷۰ میلی‌متر و متوسط دمای سالانه آن ۱۵ درجه سلسیوس و اقلیم منطقه نیز براساس طبقه‌بندی هانسن معتمد گرم است.

تصحیح اتمسفری تصاویر مرسیس بوده است. نتایج نشان داد، داده‌های مرسیس برای نظرارت بر ژرفای و سایر پارامترهای کیفیت آب پیکرهای آبی کم‌رُف مناسب است. چنگیولی و همکاران (۴) از ترکیب باند فروسرخ گرمایی و باندهای مرئی حسگر TM و TM+ ماهواره لندست ۵ و ۷ مبتنی بر مدل بازیابی و آنالیز سه بعدی جهت تعیین ژرفای آب دریاچه هولون چین استفاده کردند. آنان به منظور شبیه‌سازی ویژگی‌های دریاچه از مدلی برای ادغام گروه بازتاب نور خورشید با گروه تابش فروسرخ گرمایی استفاده نمودند. تجزیه و تحلیل صحت مدل و خطای نشان دهنده ساختار مدل بهینه لگاریتمی بود. نتایج نشان داد که مدل نتایج خوبی در بازنویس ژرفاهای مشاهداتی داشته است و دقت پیش‌بینی ژرفای در تاریخ ۲۴ سپتامبر ۲۰۰۷ بالا بوده و از مدل مذکور می‌توان به طور قابل اطمینانی در منطقه سرد و خشک استفاده نمود. سپس نتایج مدل به منظور تولید یک شبکه نامنظم مثلثی که به توابه خود برای محاسبه روابط کاربردی بین ژرفای، مساحت و حجم آب به کار می‌رود، مورد استفاده قرار گرفت. به همین منظور می‌توان معادله رگرسیون را برای برآورد حجم، پس از برآورد ژرفای آب، توسعه داد. جگلینگام و همکاران (۹) نیز با استفاده از الگوریتم نسبت تبدیل باند آبی و سبز تصاویر ماهواره ای لندست ۸ به نقشه برداری ژرفاسنجی ساحل جنوب غربی هند پرداختند. آنها شاخص‌های آماری R^2 و RMSE را میان الگوریتم حاصل از مقدار و نمودار هیدروگرافی واقعی محاسبه نمودند. نتایج نشان داد که همیستگی مناسبی میان مقدار به دست آمده از الگوریتم و نمودار هیدروگرافی واقعی وجود دارد. حیدریان و همکاران (۸) با استفاده از مدل شبکه عصبی مصنوعی و تصاویر دریافتی حسگر OLI ماهواره لندست ۸، تغییرات عمق، درجه حرارت و مرز پنهان آبی تالاب بین‌المللی زریوار ایران را بررسی نمودند. آنها ابتدا ۲۰۰ نقطه از تالاب مذکور را ژرفاسنجی و سپس مختصات جغرافیایی محل را هم‌زمان با عبور ماهواره



شکل ۱- نقشه جانمایی آب‌بندان‌ها در دشت میان دورود
Figure 1. The study area and general layout of the pools

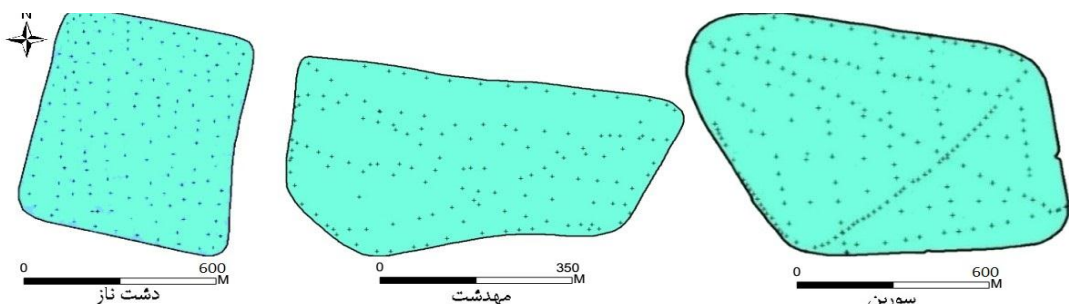
ژرفای می‌شود. لذا با وجود رابطه معکوس بین ژرفای و بازتابش رسیده به حسگر، برآورد دقیق ژرفای در نقاط مختلف این گونه مخازن با خطا همراه است. البته با استفاده از تصحیحاتی می‌توان با سرشکن کردن خطای برآورده در بعضی از متغیرها به دقت مطلوب دست یافت. در این پژوهش به منظور ارزیابی دقیق رابطه میان ژرفای اندازه‌گیری شده و برآورده شده و همچنین حجم اندازه‌گیری شده و برآورده شده در آببندان‌های مهدشت، سورین و دشت‌ناز در دو سال متولی ۹۴ و ۹۵ داده‌برداری میدانی انجام شد. ابتدا در ۲۷ اردیبهشت‌ماه ۱۳۹۴ با استفاده از قایق و ژرفانسنج صوتی ژرفای آب ۱۱۰ و ۱۵۰ نقطه به ترتیب آببندان‌های مهدشت، سورین و دشت‌ناز با فواصل ۵۰ متری اندازه‌گیری و به کمک دستگاه موقعیت‌یاب گارمین csx60 با دقت مکانی ۳ متر، موقعیت مکانی آنها نیز مشخص شد. پس از پایان اندازه‌گیری‌ها در پنهانه هر آببندان یک اشل نصب و در روزهای ۵ خرداد و ۱۴ مرداد ۹۴ و همچنین ۸ خرداد، ۹ تیر و ۲ شهریور ۹۵ مقدار روی اشل ثبت و براساس آن، ژرفاهای جدید تعیین شد. سپس ژرفای نقاط اندازه‌گیری شده در نرم‌افزار ARC GIS وارد شد (شکل ۲). دلیل انتخاب این نرم‌افزار، امکانات مناسب و گسترگی استفاده از آن در پژوهش‌های سنجش از دور بود. در ادامه به کمک مدل نامنظم مثلثی توپوگرافی بستر آببندان‌ها نیز ترسیم (شکل ۳) و سپس براساس توپوگرافی حاصل، حجم دقیق آب در آببندان‌های مهدشت، سورین و دشت‌ناز در روزهای مذکور به دست آمد.

اساس فیزیکی مورد استفاده در این پژوهش، معادله تابش و بازتابش است. از کل نور تابیده شده توسط خورشید بر سطوح پیکره‌های آبی؛ یک بخش توسط سطح آب بازتابش یافته، بخشی توسط آب جذب و باقی‌مانده نیز از آب عبور نموده و به بستر پیکره آبی تابیده می‌شود. این دسته‌پرتوها توسط بستر، بازتابش و قسمتی از آن نیز مجدد توسط آب جذب و باقیمانده آن از جو عبور نموده و توسط حسگرهای ماهواره‌ای دریافت می‌شود. میزان بازتابش نور از بستر پیکره‌های آبی می‌باشد به اندازه‌ای بالا باشد تا حسگر قادر به دریافت آنها باشد که این امر در آب‌های زلال و کمزرف محقق می‌شود. زیرا با افزایش ژرفای پیکره‌های آبی میزان نور بیشتری توسط آب جذب می‌شود. می‌توان گفت بین ژرفای آب و میزان نور دریافت شده توسط حسگر یک رابطه معکوس برقرار است. سیوکو و همکاران (۵) به منظور برآورد ژرفای آب از میزان نور دریافت شده توسط حسگر رابطه ریاضی ذیل را پیشنهاد دادند:

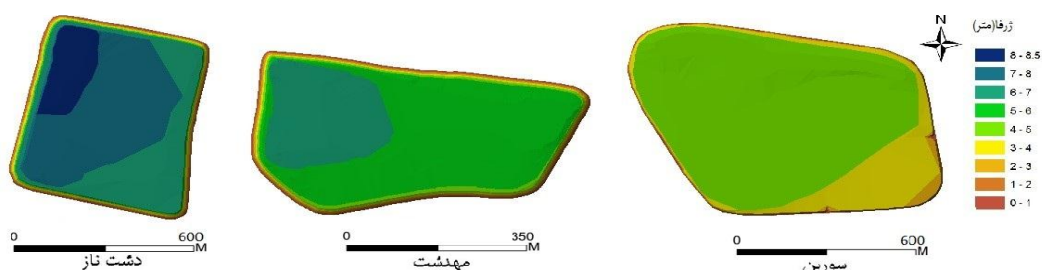
$$Z = -\frac{1}{K} \ln \left(1 - \frac{L_i - B}{A} \right) \quad (1)$$

که در این رابطه:

Z : ژرفای آب (متر)، k : ضریب میرایی موج، L_i : بازتابش رسیده باند i به حسگر (وات بر مترمربع بر میکرون) و A و B : ضرایبی که بر اساس ژرفاهای مشاهداتی و بازتابش باند i مشخص می‌شود. این مدل نیاز به دو یا چند باند مختلف طبیعی و فرض یک سپیدایی^۱ ثابت در بستر دارد که این فرض در عمل امکان‌پذیر نیست و موجب ایجاد خطا در برآورد دقیق

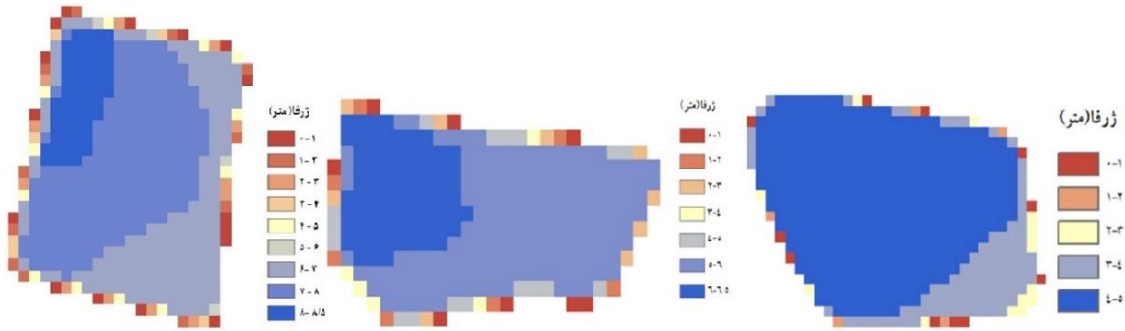


شکل ۲- پراکندگی نقاط داده‌برداری میدانی در آببندان مهدشت و سورین و دشت‌ناز
Figure 2. Distribution of ground-based data points in Mahdasht, Sorbon and Dashtenaz pools



شکل ۳- نقشه TIN ژرفای اندازه‌گیری شده آببندان‌های مهدشت و سورین و دشت‌ناز
Figure 3. TIN map of measured depth of Mahdasht, Sorbon and Dashtenaz pools

بستر آببندان‌ها به مدل رقوم ارتفاعی با تفکیک مکانی ۳۰ متری تبدیل شد (شکل ۴).



شکل ۴- نقشه (DEM) ۳۰ مهدهشت، سوربن متری ژرفای آب در آببندان و دشت ناز
Figure 4.30 meter DEM map of measured depth of Mahdasht, Sorbon and Dashtenaz pools

طیفی، باعث حساسیت بیشتر و بهبود اطلاعات مربوط به سطح زمین می‌شود. مقدار خطای دایره‌ای حس‌گر OLI ۱۲ متر با سطح اطمینان ۹۰ درصد می‌باشد. این تصاویر از سایت سازمان زمین‌شناسی ایالات متحده به نشانی طیفی باندهای مذکور در جدول (۱) و همچنین مشخصات تصاویر به کار برده شده در این پژوهش بهمراه تاریخ آن و ژرفای قرائت اشل در جدول (۲) آورده شده است.

در ادامه، با توجه به تفکیک مکانی ۳۰ متری تصاویر اخذ شده از ماهواره لنست، شبکه مثلثی‌نامنظم ایجاد شده در

ازطرف دیگر در روزهای موردنظر، تصاویر باندهای ۲، ۳، ۴، ۵ و ۶ حس‌گر OLI ماهواره لنست ۸ دریافت و در نرم‌افزار ARC GIS ذخیره شد. OLI یک حس‌گر عملیاتی تصویرساز سرزمین است که اطلاعات تصویر برای نه باند موج کوتاه را جمع‌آوری می‌کند. ابزار تصویرساز عملیاتی زمین OLI در ماهواره لنست ۸ حس‌گرهای مورد استفاده در لنستهای گذشته را بهبود می‌بخشد. OLI از ابزار سنجش پیش‌روند استفاده می‌کند. بیش از ۷۰۰۰ آشکارساز در هر باند

جدول ۱- مشخصات باندهای حس‌گر OLI

Table 1. OLI Sensor Bands Specifications

باند	محدوده طیفی (میکرومتر)	نام طیف	وضوح (m)	ویژگی‌ها
۲	۰/۴۵-۰/۵۱۵	آبی	۳۰	حداکثر نفوذ آب
۳	۰/۵۲۵-۰/۶	سبز	۳۰	اندازه‌گیری توان گیاه
۴	۰/۶۳-۰/۶۸	قرمز	۳۰	تفاوت پوشش گیاهی
۵	۰/۴۵۸-۰/۸۸۵	فروسرخ نزدیک	۳۰	نمایش پوشش گیاهی سطح زمین
۶	۱/۵۶-۱/۶۶	فروسرخ طول موج کوتاه	۳۰	تمایز و تشخیص زمین‌های مرطوب از خشک

جدول ۲- تاریخ و شماره تصاویر دریافتی از ماهواره لنست ۸ و ژرفای قرائت شده اشل آب بندان‌ها
Table 2. The date and number of images received from Landsat 8 and the depths read in the Pools

شماره	تاریخ تصویر برداری	شماره تصویر	دشت‌نامز	سوربن	ژرفای قرائت اشل (متر)	مهدشت
۱	۹۴ اردیبهشت ۷۲	LC81640342015137	۸/۵	۵	۳۰	۶/۵
۲	۹۴ خرداد ۵	LC81630352015146	۷/۹	۴/۵	۳۰	۶/۱
۳	۹۴ مرداد ۱۴	LC81640342015217	۴/۵	۳	۳۰	۳/۵
۴	۹۵ خرداد ۸	LC81630352016149	۷/۹	۴/۷	۳۰	۵/۹
۵	۹۵ تیر ۹	LC81630352016181	۷/۴	۴/۳	۳۰	۵/۶
۶	۹۵ شهریور ۲	LC81640342016236	۴/۱	۲/۹	۳۰	۳/۱

تصاویر مربوط به زمان‌های مختلف با بلندای خورشیدی متفاوت بود، بنابراین تصحیحات رادیومتریک و جوی تصاویر با استفاده از روابط زیر انجام شد:

$$R = \frac{L}{\sin(\theta_{SE})} \quad (2)$$

که در این رابطه، R : مقادیر طیفی اصلاح شده، L : مقادیر طیفی اولیه تصویر، θ_{SE} : زاویه بلندای خورشید است. یکی دیگر از تصحیحات، تبدیل ارزش‌های رقومی به بازتابش

هرچند به نظر می‌رسد تفکیک مکانی ۳۰ متر برای بررسی آب بندان‌ها زیاد باشد اما به دلیل رایگان بودن، سهولت دسترسی و تفکیک‌طیفی مناسب، از تصاویر این حس‌گر استفاده شد. سپس محدوده آب بندان مهدشت، سوربن و دشت‌نامز از تصاویر دریافتی بر شد (شکل ۵). هر چند تصاویر حس‌گر OLI زمین‌مرجع^۱ است، با این وجود با توجه به اندازه ۳۰ متری هر سلو، خطای هندسی با استفاده از محیط برداشت شده هر آب بندان توسط مکان‌یاب، مورد ارزیابی قرار گرفت که با تصاویر منطبق بود. از آنجایی که

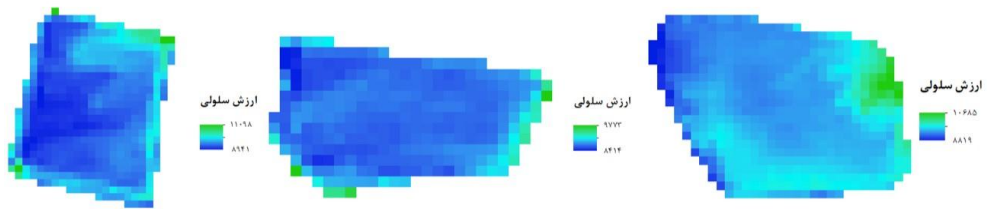
1- Geo reference

همبستگی مستقیم میان ژرفاهای اندازه‌گیری شده و ارزش سلولی تصاویر دریافتی باندهای مذکور مربوط به آببندان‌های مهدشت، سورین و دشت ناز محاسبه شد. سپس به منظور بهبود مقدار همبستگی‌های بدست آمده،^۴ شاخص از نوع نسبت‌باندی و تفاضل نرمال تعریف شده و مورد ارزیابی قرار گرفت. شاخص‌های مذکور از^۳ باند که بالاترین مقدار همبستگی را کسب نموده‌اند انتخاب شدند.

طیفی بالای جو است که این عمل با استفاده از ضرایب کالیبراسیون حسگر و با رابطه زیر صورت گرفت:

$$L = M_L \times Q_{cal} + A_L \quad (3)$$

که در این رابطه، L: تابش طیفی (وات بر مترمربع)، Q_{cal}: ارزش رقومی سلول، M_L و A_L: ضرایب کالیبراسیون حسگر در بسته ابرداده دریافت شده از سایت می‌باشد. پس از انجام اندازه‌گیری‌های میدانی ژرفای آب و همچنین تصحیحات تصاویر دریافتی باندهای^{۲، ۳، ۴، ۵ و ۶} حسگر OLI،



شکل ۵- تصویر ماهواره‌ای باند ۴ برپا شده آببندان مهدشت، سورین و دشت ناز؛ ۲۷ اردیبهشت ۹۴
Figure 5. Satellite image of Band 4 subjected to Mahdasht, Sorbon and Dashtenaz pools; May 17, 2015

مترا مربع در نظر گرفته شد. سپس با کمک معادله (۴) حجم کلی آببندان‌ها برآورد شد.

$$V = \sum_{i=1}^m (\bar{d}_i \times n_i \times A) \quad (4)$$

که در این رابطه، V: حجم آب برآورد شده (مترمکعب)، m: تعداد کلاس تصویر (دو برابر بیشترین ژرفای)، \bar{d} : متوسط ژرفای در هر کلاس (متر)، n: تعداد سلول در هر کلاس، A: مساحت هر سلول (مترا مربع). در نهایت حجم واقعی آب اندازه‌گیری شده در روزهای داده‌برداری و حجم برآورده شده حاصل از تصاویر دریافتی باندهای^{۲، ۳، ۴، ۵ و ۶} آببندان‌های مهدشت، سورین و دشت ناز با یکدیگر مقایسه و خطای نسبی یکایک حجم‌های برآورده شده باندهای مذکور محاسبه شد. به عنوان نمونه برآورد حجم آب آببندان سورین در روز ۸ خرداد ۹۵ با استفاده از تصویر باند آبی در جدول ۳ مشاهده می‌شود.

در ادامه با استفاده از روش طبقه‌بندی ژرفایی مقادیر حجم آب آببندان‌ها در روزهای تصویربرداری بدست آمد. در روش طبقه‌بندی ژرفایی که برای اولین بار در این پژوهش ارائه شده است به کمک نرمافزار ARC GIS، مقادیر سلولی تصاویر باندهای^{۲، ۳، ۴، ۵ و ۶} دریافتی حسگر OLI، به تعداد ۲ برابر بیشینه ژرفای در روزهای مذکور، با دامنه مساوی کلاس‌بندی شد (هر کلاس معرف نیم متر ژرفای). به عنوان مثال بیشینه ژرفای آب در روز ۲۷ اردیبهشت‌ماه ۹۴ در آببندان‌های مهدشت^{۶/۵} سورین^۵ و دشت ناز^{۸/۵} متر اندازه‌گیری شده است و براساس توضیحات بالا آببندان‌های مذکور به ترتیب در^{۱۰} و^{۱۷} رده مساوی، کلاس‌بندی شدند. با توجه به مقادیر سلولی، تعداد سلول‌ها در هر کلاس مشخص شد. همچنین با توجه به تفکیک مکانی^{۳۰} متری تصاویر دریافتی از حسگر، مساحت هر سلول تصویر^{۹۰۰} مشاهده می‌شود.

جدول ۳- برآورد حجم آب آببندان سورین در روز ۸ خرداد سال ۹۵ با استفاده از تصویر باند ۲

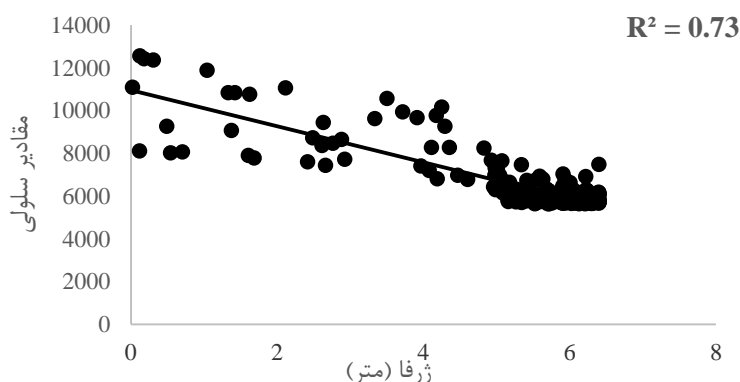
Table 3. Estimated volume of water of the Sorbon pool on May 28, 2016 using band 2 image

شماره کلاس	متوسط ژرفای در هر کلاس	تعداد سلول‌های کلاس	حجم آب برآورده شده هر کلاس	V	n	\bar{d}	m
۱	۰/۲۵	۱		۲۲۵=(۱۰/۲۵x۹۰۰)	۱		
۲	۰/۷۵	۲		۱.۳۵۰	۲		
۳	۱/۲۵	۲		۲.۲۵۰	۲		
۴	۱/۷۵	۸		۱۲۶۰۰	۸		
۵	۲/۲۵	۸		۱۶۲۰۰	۸		
۶	۲/۷۵	۱۶		۳۹۶۰۰	۱۶		
۷	۳/۲۵	۳۶		۱۰۵۳۰۰	۳۶		
۸	۳/۷۵	۱۴۷		۴۹۶.۱۲۵	۱۴۷		
۹	۴/۲۵	۲۰۳		۷۷۶.۴۷۵	۲۰۳		
۱۰	۴/۷۵	۱۱۸		۵۰۴.۴۵۰	۱۱۸		
جمع کل (متر مکعب (m ³))				۱.۹۵۴.۵۷۵			

۶ تصاویر دریافتی حس‌گر OLI ماهواره لندست ۸ با مقادیر سلولی رستر ژرفای اندازه‌گیری شده در شش تاریخ و برای سه آببندان محاسبه شد. به عنوان نمونه نمودار مقادیر سلولی تصویر باند ۶ در مقابل مقادیر سلولی رستر ژرفای اندازه‌گیری شده مربوط به تاریخ ۲۷ اردیبهشت ۱۳۹۴ آببندان مهدشت به همراه ضریب تبیین در شکل (۶) قابل مشاهده است. بدین ترتیب ۹۰ ضریب تبیین محاسبه شده برای سه آببندان، شش تاریخ و پنج باند در جدول (۴) گردآوری شد. متوسط مقدار ضریب تبیین برای باندهای (۲، ۳، ۴، ۵ و ۶) به ترتیب ۰/۳۸، ۰/۴۳، ۰/۴۸، ۰/۴۰ و ۰/۴۶ بود.

نتایج و بحث

در این پژوهش به منظور ارزیابی توانایی حس‌گر OLI در تخمین ژرفای آب مخازن، ابتدا همبستگی سلول‌های رستر واقعی آببندان‌های دشت‌ناز، مهدشت و سورین با سلول‌های تصاویر هر یک از باندهای حس‌گر و نیز شاخص‌ها مقایسه شدند. در ادامه با استفاده از روش طبقه‌بندی ژرفایی حجم آب آببندان‌های مذکور با استفاده از هر یک از باندها و نیز شاخص منتخب تخمین و با حجم‌های واقعی مقایسه گردید. ژرفاسنجی با استفاده از تک باند ابتداء همبستگی خطی مقادیر سلولی باندهای ۲، ۳، ۴، ۵ و ۶



شکل ۶- نمودار ضریب تبیین مقادیر سلولی با ژرفای اندازه‌گیری شده آببندان مهدشت در روز ۲۷ اردیبهشت ۹۴
Figure 6. The coefficient of correlation cell values with measured depths of, Mahdasht pool in 17 May 2015

جدول ۴- ضریب تبیین ژرفای واقعی با مقادیر سلولی تصاویر دریافتی

Table 4. Correlation Coefficient actual depth with pixel values of received images

۹۴ مرداد ۱۴					۹۴ خرداد ۵					۹۴ اردیبهشت ۲۷					تاریخ تصویر				
باند۵	باند۴	باند۳	باند۶	باند۵	باند۴	باند۳	باند۶	باند۵	باند۴	باند۳	باند۶	باند۵	باند۴	باند۳	باند۶	باند۵	باند۴	باند۳	باند۶
۰/۶۶	۰/۷۰	۰/۴۹	۰/۴۷	۰/۴۳	۰/۶۶	۰/۷۱	۰/۵۸	۰/۵۸	۰/۵۲	۰/۷۳	۰/۷۶	۰/۶۰	۰/۵۸	۰/۲۷	۰/۷۶	۰/۶۰	۰/۵۸	۰/۲۷	۰/۷۶
۰/۵۰	۰/۵۲	۰/۵۱	۰/۴۴	۰/۴۴	۰/۴۵	۰/۴۵	۰/۵۰	۰/۵۱	۰/۴۸	۰/۴۴	۰/۴۵	۰/۲۵	۰/۰۷	۰/۰۷	۰/۷	۰/۴۵	۰/۲۵	۰/۰۷	۰/۷
۰/۶۶	۰/۶۶	۰/۵۸	۰/۵۹	۰/۵۴	۰/۶۵	۰/۶۸	۰/۶۱	۰/۶۴	۰/۶۱	۰/۷۰	۰/۶۹	۰/۶۱	۰/۵۳	۰/۶۱	۰/۶۱	۰/۵۳	۰/۵۳	۰/۶۱	۰/۶۱

۹۵ شهریور ۲					۹۵ تیر ۹					۹۵ خرداد ۸					تاریخ تصویر				
باند۵	باند۴	باند۳	باند۶	باند۵	باند۴	باند۳	باند۶	باند۵	باند۴	باند۳	باند۶	باند۵	باند۴	باند۳	باند۶	باند۵	باند۴	باند۳	باند۶
۰/۶۴	۰/۶۷	۰/۳۹	۰/۳۴	۰/۱۷	۰/۷۰	۰/۷۱	۰/۶۳	۰/۶۸	۰/۵۸	۰/۶۵	۰/۵۴	۰/۴۱	۰/۲۸	۰/۲۸	۰/۴۱	۰/۴۱	۰/۴۱	۰/۴۱	۰/۴۱
۰/۵۰	۰/۳۳	۰/۰۳	۰/۰۰	۰/۰۰	۰/۵۰	۰/۴۴	۰/۵۲	۰/۵۳	۰/۵۱	۰/۴۵	۰/۴۳	۰/۲۵	۰/۳۲	۰/۳۲	۰/۴۳	۰/۴۳	۰/۴۳	۰/۴۳	۰/۴۳
۰/۶۳	۰/۶۵	۰/۵۰	۰/۴۱	۰/۶۹	۰/۶۸	۰/۶۰	۰/۶۰	۰/۵۰	۰/۶۵	۰/۶۸	۰/۶۳	۰/۵۸	۰/۵۸	۰/۵۸	۰/۶۸	۰/۶۸	۰/۶۸	۰/۶۸	۰/۶۸

ژرفاسنجی با استفاده از شاخص

با توجه به خرایب همبستگی مشاهده شده در جدول (۴)، باندهای ۲ و ۳ کمترین و باندهای ۴، ۵ و ۶ بیشترین مقدار همبستگی خطی با ژرفای واقعی را داشته است. لذا باندهای ۲ و ۳ حذف و با استفاده از ۳ باند باقی‌مانده، ۴ شاخص به صورت نسبت باندی و تفاضل نرمال تعريف و مورد ارزیابی قرار گرفت:

$$I : \frac{B4}{B5} \quad (4)$$

$$IV : \frac{B4 - B6}{B4 + B6} \quad (5)$$

$$II : \frac{B4}{B6} \quad (6)$$

$$III : \frac{B4 - B5}{B4 + B5} \quad (7)$$

که در این روابط: B_4 و B_5 به ترتیب ارزش‌های سلولی تصویر شاخص‌های مذکور برای باندهای ۴ و ۵ هستند. در ادامه مقادیر شاخص‌های مذکور برای هر یک از سلول‌های تصویر، محاسبه و ضریب تبیین میان آنها با ژرفای واقعی به دست آمد (جدول ۵).

جدول ۵- ضریب تبیین میان ژرفای واقعی و شاخص‌های نسبت باندی و تفاضل نرمال

Table 5. The correlation coefficient between real depth and bonding index and normal difference

۹۴ مرداد ۱۴				۹۴ خرداد ۵				۹۴ اردیبهشت ۲۷				تاریخ تصویر			
IV	III	II	I	IV	III	II	I	IV	III	II	I	IV	III	II	I
.۰/۷	.۰/۷	.۰/۶۹	.۰/۶۹	.۰/۶۶	.۰/۶۹	.۰/۶۶	.۰/۶۸	.۰/۷۶	.۰/۷۵	.۰/۷۵	.۰/۷۳	آبندان	آبندان	آبندان	آبندان
.۰/۴۸	.۰/۴۷	.۰/۴۸	.۰/۴۷	.۰/۴۳	.۰/۴۱	.۰/۴۲	.۰/۴۱	.۰/۴۲	.۰/۴۲	.۰/۴۱	.۰/۴۲	مهدشت	مهدشت	مهدشت	مهدشت
.۰/۶۴	.۰/۶۵	.۰/۶۲	.۰/۶۵	.۰/۶۳	.۰/۶۶	.۰/۶۲	.۰/۶۶	.۰/۶۹	.۰/۶۷	.۰/۶۸	.۰/۶۶	سورین	سورین	سورین	سورین

۹۵ شهریور ۲				۹۵ تیر ۹				۹۵ خرداد ۸				تاریخ تصویر			
IV	III	II	I	IV	III	II	I	IV	III	II	I	IV	III	II	I
.۰/۷	.۰/۷	.۰/۶۹	.۰/۶۹	.۰/۷۱	.۰/۶۷	.۰/۷	.۰/۶۷	.۰/۶۶	.۰/۶۳	.۰/۶۵	.۰/۶۳	آبندان	آبندان	آبندان	آبندان
.۰/۵۶	.۰/۴۶	.۰/۵۶	.۰/۴۷	.۰/۴۸	.۰/۳۷	.۰/۴۸	.۰/۳۷	.۰/۴۶	.۰/۴	.۰/۴۶	.۰/۴۱	مهدشت	مهدشت	مهدشت	مهدشت
.۰/۶۵	.۰/۶۹	.۰/۶۳	.۰/۶۸	.۰/۶۸	.۰/۶۹	.۰/۶۷	.۰/۶۹	.۰/۶۴	.۰/۶۷	.۰/۶۲	.۰/۶۷	سورین	سورین	سورین	سورین
												دشت‌ناز	دشت‌ناز	دشت‌ناز	دشت‌ناز

سنجهش از دور حجم مخزن را با دقت قابل قبولی تخمین زد یا خیر. روش معرفی شده توسط سیوکو و همکاران (۵) که در بخش مرور منابع معرفی شد برای واسنجی میزان سپیدایی بستر و نیز کدورت آب نیاز به چندین داده ژرفایی دارد که خود مستلزم اندازه‌گیری‌های میدانی است. روش طبقه‌بندی ژرفایی بهمنظور واسنجی فقط نیاز به بیشترین ژرفایی مخزن دارد که موجب کاهش داده‌برداری میدانی شده است. از داده بیشترین ژرفایی مخزن برای تعیین تعداد کلاس‌ها (۲) برابر بیشترین ژرفایی استفاده می‌شود. لذا در ادامه تعیین حجم و ترسیم تopoگرافی بستر مخزن با استفاده از روش طبقه‌بندی ژرفایی مورد ارزیابی قرار گرفت.

تخمین حجم آب مخزن با استفاده از تک باند
ابتدا با استفاده از مدل شبکه نامنظم مثاشی نرم‌افزار ARC GIS حجم واقعی آب آبندان‌های دشت‌ناز، سورین و مهدشت بر اساس ژرفاهای اندازه‌گیری شده در روزهای ۲۷ اردیبهشت، ۵ خرداد، ۹ مرداد ۱۴، ۸ خرداد، ۹ تیر و ۲ شهریور ۹۵ محاسبه شد. سپس با استفاده از تصاویربرداری باندهای ۲، ۳، ۴، ۵ و ۶ حسگر OLI میزان حجم آب آبندان‌های مذکور با استفاده از روش طبقه‌بندی ژرفایی که در قسمت مواد و روش‌ها آمده است، برآورد شد (جدول ۷). در ادامه خطای نسبی حجم آب‌های برآورده شده توسط مقدار این روش نسبت به حجم آب اندازه‌گیری شده آبندان‌ها در روزهای تصویربرداری محاسبه و در جدول (۸) گردآوری شد. با توجه به داده‌های جدول (۸) میانگین خطای نسبی برای باندهای ۲، ۳، ۴، ۵ و ۶ بهترتبه ۹/۳، ۷/۷، ۹/۹، ۸/۸، ۸/۳ درصد محاسبه شد. همچنین ضرایب همبستگی میان حجم اندازه‌گیری شده و حجم برآورده شده حاصل از تصاویربرداری باندهای مذکور آبندان‌های دشت‌ناز، سورین و مهدشت در تمامی تاریخ‌ها نیز محاسبه شد. میانگین ضرایب همبستگی میان حجم واقعی اندازه‌گیری شده و حجم برآورده شده از تصاویر باندهای ۲، ۳، ۴، ۵ و ۶ بهترتبه ۰/۹۴، ۰/۹۳، ۰/۹۶، ۰/۹۷ و ۰/۸ به دست آمد (جدول ۶).

با توجه به نتایج مندرج در جدول (۵) متوسط مقدار ضریب تبیین شاخص‌های I، II، III و IV به ترتیب ۰/۶۰، ۰/۶۲ و ۰/۶۰ به دست آمد. بدین ترتیب شاخص IV در میان شاخص‌های موجود بعنوان شاخص منتخب معرفی شد. در مجموع، ضرایب همبستگی حتی پس از ارتقاء توسط شاخص‌ها به گونه‌ای نیست که بتوان از روش سنجهش از دور برای تعیین دقیق ژرفایی آب در هر کدام از پیکسل‌ها بهره برد. بهخصوص در مورد آبندان‌ها که تغییرات ژرفایی بستر شان به جز در دیوارهای جانبی جزئی است. از سویی پرورش ماهی در آبندان‌ها موجب افزایش چگالی ذرات معلق و نیز جلبکی می‌شود. این ذرات با پراکنده کردن نور بازتابش یافته به بستر موج افزایش نویز امواج رسیده به حسگر ماهواره می‌شود. اختلاف همبستگی‌ها در روزهای مختلف نیز به این دلایل قابل توجیه است. با گذشت زمان از ابتدای فصل پرورش ماهی سپیدایی بستر نیز تحت تأثیر قرار می‌گیرد. همچنین غذاده‌ی در زمان‌های نزدیک به تصویربرداری ماهواره‌ای نیز موجب افزایش کدورت آب و افزایش خطا می‌شود. از سویی سطح آب آبندان‌ها به دلیل ورود و مصرف آب در نوسان است. آب‌های ورودی ممکن است ناشی از سیل با کدورت بالا یا زلال باشد. نزدیکی زمان ورود آب به مخزن به زمان تصویربرداری و تهشیش نشدن ذرات معلق بر روی افزایش خطا مؤثر است. چنانچه پژوهشگر بخواهد برای استفاده از روش سنجهش از دور موارد بالا را از نزدیک مورد بررسی قرار دهد دیگر روش سنجهش از دور با روش‌های مرسوم میدانی تفاوتی نخواهد داشت. به همین دلیل در این پژوهش بجای تمرکز بر اندازه‌گیری دقیق ژرفایی، اهداف ژرفانسنجی یعنی تعیین حجم مخزن و نیز ترسیم تopoگرافی بستر مورد توجه قرار گرفت. روش طبقه‌بندی ژرفایی که در بخش مواد و روش‌ها معرفی شد به نوعی پذیرفتن مقدار معینی خطا (در این پژوهش ۰/۵ متر) است. هدف، بررسی این مطلب است که اگر به دلایل ذکر شده این مقدار معین خطا پذیرفته شود برآورده حجم مخزن و نیز تopoگرافی بستر تا چه میزان تحت تاثیر قرار می‌گیرد. بهیان دیگر آیا می‌توان با استفاده از

جدول ۶- ضریب همبستگی خطی میان حجم اندازه‌گیری شده و حجم محاسبه شده از باندهای OLI

Table 6. Correlation coefficient between measured volume and calculated volume of OLI bands

آب بندان	دشت ناز	مهدوست	سورین	متوسط
آب بندان	دشت ناز	مهدوست	سورین	متوسط
۰/۹۹	۰/۹۸	۰/۹۸	۰/۹۸	۰/۹۹
۰/۹۲	۰/۹۵	۰/۹۵	۰/۹۳	۰/۹۲
۰/۸۵	۰/۴۶	۰/۹۹	۰/۹۱	۰/۸۵
	۰/۸	۰/۹۷	۰/۹۳	۰/۹۴

جدول ۷- برآورد حجم اندازه‌گیری شده و محاسبه شده (روش طبقه‌بندی ژرفابی) از باندهای OLI آب‌بندان‌ها در زمان‌های تصویربرداری

Table 7. Estimated volume measured and calculated (Depth Classification Method) from OLI bands of pools at Imagary dates

متر مکعب (Mm^3) است.

جدول ۸- خطای نسبی حاصل از حجم آب واقعی و پرآورده شده (روش طبقه‌بندی ژرفایی) پاندهای OLI

Table 8. Relative error from measured and calculated volume (Depth Classification Method) OLI bands

محاسبه شد (جدول ۱۰). متوسط مقدار خطای نسبی شاخص منتخب در این آببندان‌ها به ترتیب $6/8$ ، $7/6$ و $7/4$ درصد محاسبه شد. ضرایب همبستگی محاسبه شده نشان داد که استفاده از شاخص موجب کاهش نویز در آببندان‌ها و افزایش ضریب تبیین می‌شود. شکل (۷) ضریب همبستگی میان حجم آب واقعی و برآورده شده توسط شاخص IV میان آببندان سوربن را نشان می‌دهد

تخمین حجم آب مخزن با استفاده از شاخص منتخب در این روش با استفاده از رستر تولیدشده شاخص برگزیده IV حجم آب آببندان‌های مذکور برآورده شد (جدول ۹). همبستگی خطی میان حجم واقعی اندازه‌گیری شده و حجم برآورده شده حاصل از شاخص منتخب IV برای آببندان‌های دشتناز، مهدشت و سوربن به ترتیب $0/97$ ، $0/98$ و $0/94$ به دست آمد و سپس خطای نسبی تخمین حجم آب نیز

جدول ۹- برآورده شده از شاخص IV آببندان‌ها

Table 9. Measured and calculated Volume of pools from IV index

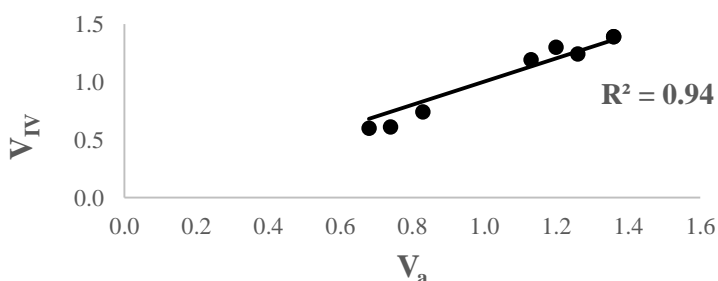
تاریخ	حجم اندازه‌گیری شده					
	مهدهشت	سوربن	دشت‌ناز	مهدهشت	سوربن	دشت‌ناز
۹۴ اردیبهشت	۱/۳۹	۲/۱	۲/۸۴	۱/۳۶	۱/۹۷	۲/۹
۹۴ خرداد	۱/۲۴	۱/۹۴	۲/۸۳	۱/۲۶	۱/۷۳	۲/۶۵
۹۴ مرداد	۰/۷۴	۱/۲۶	۱/۶۱	۰/۸۳	۱/۲۲	۱/۴۷
۹۵ خرداد	۱/۳	۱/۹۷	۲/۸۱	۱/۲	۱/۸۲	۲/۶۵
۹۵ تیر	۱/۱۹	۱/۹۳	۲/۶۹	۱/۱۳	۱/۶۴	۲/۴۴
۹۵ شهریور	۰/۶۱	۱/۲۴	۱/۴۰	۰/۷۴	۱/۱۷	۱/۳۲

*: کلیه ارقام بر حسب میلیون مترمکعب (Mm^3) است.

جدول ۱۰- خطای نسبی حاصل از حجم آب واقعی و برآورده شده توسط شاخص IV

Table 10. Relative error between real water volume and measured by index IV

تاریخ	متوجه خطای نسبی					
	مهدهشت	سوربن	دشت‌ناز	مهدهشت	سوربن	دشت‌ناز
۹۴ اردیبهشت	۳/۶	۲/۲	۶/۶	۲/۱		
۹۴ خرداد	۶/۸	۱/۶	۱۲/۱	۶/۸		
۹۴ مرداد	۷/۹	۱۰/۸	۳/۳	۹/۵		
۹۵ خرداد	۷/۳	۸/۳	۷/۷	۶/۰		
۹۵ تیر	۱۱/۱	۵/۳	۱۷/۷	۱۰/۲		
۹۵ شهریور	۹/۹	۱۷/۶	۶/۰	۶/۱		
متوجه خطای نسبی خطای نسبی مدل	۷/۸	۷/۶	۸/۹	۶/۸	۷/۸	

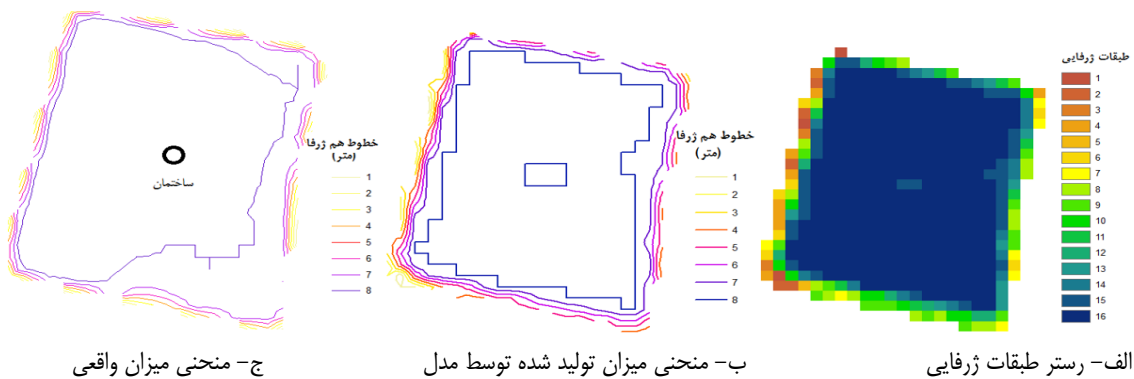


شكل ۷- ضریب همبستگی میان حجم آب واقعی و برآورده شده توسط شاخص IV آببندان سوربن

Figure 7. Coefficient of correlation between actual water volume and measured of the Sorbon pool by IV index

رستر ۳۰ متری ژرافه‌های اندازه‌گیری شده مقایسه شد. شکل (۸) مقایسه خطوط منحنی میزان واقعی و تولید شده از طبقه‌بندی ژرافی تصوری باند ۴ آببندان دشت‌ناز در ۲۷ اردیبهشت ۹۴ را نشان می‌دهد.

پس از نتایج مطلوبی که از تخمین حجم توسط روش طبقه‌بندی ژرافی حاصل شد، به منظور بررسی توانایی مدل در برآورده توپوگرافی بستر آببندان، از تصور طبقه‌بندی ژرافی باند ۴ آببندان‌ها برای ترسیم توپوگرافی بستر با استفاده از نرم‌افزار ARC GIS استفاده و با توپوگرافی ترسیم شده از



شکل ۸- مقایسه خطوط منحنی میزان واقعی و تولید شده از طبقه‌بندی ژرفایی تصویر باند ۴ آب‌بندان دشت‌ناز
Figure 8. Comparison of actual and produced topography from Depth Classification Method band 4 image Dashtenaz Pool

در سری‌های زمانی تصاویر مخزن می‌توان روند تله‌اندازی رسوبر استر را مورد بررسی قرار داد. با توجه به این که استفاده از شاخص منتخب در این پژوهش نتایج بهتری را نسبت به حالت تک‌باند نشان داد، روش طبقه‌بندی ژرفایی شاخص تفاضل نرمال باندهای ۴ و ۶ Hs-گر OLI جهت تخمین حجم آب مخازن کم‌ژرف پیشنهاد می‌شود. نتایج پژوهش حیدریان و همکاران (۸) نشان داد که تصاویر باند قرمز Hs-گر OLI بیشترین ضریب تبیین و کمترین میزان خطا را در میان دیگر باندهای Hs-گر مذکور دارا است. همچنین نتایج پژوهش حاضر، نتایج پژوهش سیلویان و گوپلیوم (۲۱) حداقل را تایید نمود. در پژوهش سیلویان و گوپلیوم (۲۱) حداقل ژرفای آب قابل برآورد با روش‌های سنجش‌از دور ۱۴ متر گزارش شده است اما پیشنهاد می‌شود در مورد بیشترین ژرفای قابل تخمین توسط روش طبقه‌بندی ژرفایی، پژوهش‌های بیشتری انجام پذیرد.

تشکر و قدردانی

نگارندگان بر خود لازم می‌دانند از مسئولین محترم شرکت کشت و صنعت مهدشت و دشت‌ناز و نیز اهالی روستای سورین به جهت در اختیار قرار دادن قایق و مساعدت‌های دلسوزانه به تیم پژوهشی کمال قدردانی و تشکر را داشته باشند

با توجه به شکل (۸) منحنی میزان تولید شده مشابه‌ت مناسبی با منحنی میزان واقعی دارد. به طوری که دیواره‌های مخزن به خوبی شناسایی شده و فقط در ژرافی ۸ متری مقداری خطأ دیده می‌شود. به دین ترتیب منحنی میزان‌های تولید شده توسط طبقه‌بندی ژرفایی در کاربردهایی که دقت کمتر از ۰/۵ متر نیاز نیست، قابل استفاده است. نتایج حاصل از پژوهش نشان داد تخمین دقیق ژرفای نقاط مختلف مخزن با استفاده از تصاویر Hs-گر OLI ممکن نیست. ضرایب همبستگی حتی پس از ارتقاء توسط شاخص‌ها به گونه‌ای نیست که بتوان از روش سنجش‌از دور برای تعیین دقیق ژرفای آب در هر کدام از پیکسل‌ها بهره برد، هرچند یک روش ساده و کاربردی برای برآورد حجم آب مخازن با میانگین خطای نسبی کمتر از ۸ درصد معروفی شد که فقط نیاز به اندازه‌گیری حداقل ژرفای مخزن دارد. کدورت آب، تفاوت سپیدایی بستر مخازن و ابرناکی در زمان تصویربرداری از عوامل ایجاد خطأ در مدل مذکور بهشمار می‌آید. در مواردی که دقتهای کمتر از ۰/۵ متر مورد نیاز نباشد، می‌توان از توبوگرافی بستر حاصل از این روش نیز استفاده نمود. یکی از مسائل مهم مخازن آب پس از بهره‌برداری، رسوب گذاری است که این پدیده بهره‌برداری بهینه از حجم ذخیره شده آب در مخازن را با مشکلاتی مواجه می‌سازد (۲۳). با استفاده از منحنی میزان‌های تولید شده توسط روش طبقه‌بندی ژرفایی

منابع

1. Amani, M. 2014. Prioritization of Sub-Watersheds based on Morphometric Analysis, GIS and RS Techniques: Lohandar Watershed, Golestan Province. Journal of Watershed Management Research, 5(2): 1-15 (In Persian).
2. Bagheri, A. 2008. Pool management and it's role in storage and water supply for agricultural lands in north of Iran. 2th International Conference on Management of irrigation and drainage networks, 221-226 pp., Ahvaz, Chamran university, Iran (In Persian).
3. Bostater, C.R., T.S. Oney, T. Rotkiske, S. Aziz, C. Morrisette, K. Callahan and D. Mcallister. 2017. Hyperspectral signatures and WorldView-3 imagery of Indian River Lagoon and Banana River Estuarine water and bottom types. In Remote Sensing of the Ocean, Sea Ice, Coastal Waters and Large Water Regions. International Society for Optics and Photonics. (10422): 104220 pp
4. Li, C., B. Sun, K. Jia, S. Zhang, W. Li, X. Shi and L. Pereira. 2013. Multi-Band Remote Sensing Based Retrieval Model and 3D Analysis of Water Depth in Hulun Lake, China. Mathematical and Computer, 58(3-4): 771-781.

5. Civco, D.L. and W.C. Kennard. 1992. Satellite remote bathymetry: a new mechanism for modeling, Photogramm. Engineering. Remote Sensing, 5(58): 545-549.
6. Deng, Z., J. Minhe and Z. Zhang. 2008. Mapping Bathymetry From Multi-S Ource Remote Sensing Images: A Case Study in the Beilun Estuary, Guangxi, China. The International Archives of the Photogr ammetry, Remote Sensing and Spatial Information Sciences, (XXXVII): 1321-1326.
7. Fonstad Mark, A. and W.A. Marcus. 2005. Remote Sensing of Stream Depths with Hydraulically Assisted Bathymetry (HAB) Models. Geomorphology, 72(1): 320-339.
8. Heidarian, K., S. Kaboodvandpur and J. Aminollahi. 2016. Evaluation of Wetlands International Zarivar deep changes using remote sensing and artificial neural network. Journal of Geographic Space, 53: 271-289 (In Persian).
9. Jagalingam, P. 2015. Bathymetry Mapping Using Landsat 8 Satellite Imagery. Procedia Engineering, 116: 560-566.
10. Kowkabi, L., R. setayesh, A.R. Badri and A. Rajaei. 2013. The application of fuzzy multi-attribute group decision making to prioritize the landscapes with high ecological value: Khoshk River in Shiraz. International Journal of Envirnmental Research, 7(2): 423-434.
11. Majzozi, N.P., M.S. Salama, S. Bernard, D.M. Harper and M.G. Habte. 2014. Remote Sensing of Environment Remote Sensing of Euphotic Depth in Shallow Tropical Inland Waters of Lake Naivasha Using MERIS Data. Remote Sensing of Environment, 148:178-89.
12. Manessa, M.D., M.M. Haidar, D. Hartuti and K. Kresnawati. 2018. Determination of the best methodology for bathymetry mapping using spot 6 imagery: A Study of 12 empirical algorithms. International Journal of Remote Sensing and Earth Sciences (IJReSES), 14(2): 127-136.
13. Meskar, H. and R. Fazloula. 2013. Investigation of Sedimentation Pattern in the Shahid Rajaei ReservoirUsing GSTAR3.0 Numerical Model. Journal of Watershed Management Research, 4(7): 16-29 (In Persian).
14. Misra, A., Z. Vojinovic, B. Ramakrishnan, A. Luijendijk and R. Ranasinghe. 2018. Shallow water bathymetry mapping using Support Vector Machine (SVM) technique and multispectral imagery. International Journal of Remote Sensing, 1-20 pp.
15. Oh, C.Y., K. Ahn, J. Park and S.W. Park. 2017. Coastal Shallow-Water Bathymetry Survey through a Drone and Optical Remote Sensors. Journal of Korean Society of Coastal and Ocean Engineers, 29(3): 162-168.
16. Özcelik, C. and A. Yalçın. 2010. Remote sensing of water depths in shallow waters via artificial neural networks. Estuarine, Coastal and Shelf Science, 89: 89-96.
17. Sichangi, A.W. and G.O. Makokha. 2017. Monitoring water depth, surface area and volume changes in Lake Victoria: integrating the bathymetry map and remote sensing data during 1993-2016. Modeling Earth Systems and Environment, 1-6 pp.
18. Solaimani Sarood, F., S. Soltani Kopaii and A. Salajeghe. 2013. Selection of Appropriate Flooding Potential Index by Using RainfallRunoff (HEC-HMS) Model and RS & GIS Techniques in Jiroft Dam Basin. Journal of Watershed Management Research, 4(8): 90-105 (In Persian).
19. Sternberg, T. and P. Paillou. 2015. Mapping Potential Shallow Groundwater in the Gobi Desert Using Remote Sensing: Lake Ulaan Nuur. Journal of Arid Environments, 118: 21-27.
20. Stumpf, R.P. and K. Holderied. 2003. Determination of water depth with high-resolution satellite imagery over variable bottom types. Liminology and Oceanography, 48(1): 547-556.
21. Sylvain J. and M. Guillaume. 2014. Remote Sensing of Environment A Novel Maximum Likelihood Based Method for Mapping Depth and Water Quality from Hyperspectral Remote-Sensing Data. Remote Sensing of Environment, 147: 121-32.
22. Tian, Q.J., J. Wang and X. Du. 2007. Study on Water Depth Extraction from Remote Sensing Imagery in Jiangsu Coastal Zone. Journal of Remote Sensing, 11(3).
23. Usha, K. and S. Bhupinder. 2013. Scientia Horticulturae Potential Applications of Remote Sensing in Horticulture A Review. Scientia Horticulturae, 153: 71-83.
24. Yang, C., et al. 2017. Remote Sensing of Hydrological Changes in Tian-e-Zhou Oxbow Lake, an Ungauged Area of the Yangtze River Basin. Remote Sensing, 10(1): 27 pp.
25. Zhou J., D.L. Civco and J.A. Silander. 1998. A wavelet transform method to merge Landsat TM and SPOT panchromatic data. International Journal Of Remote Sensing, 19: 743-757.

Bathymetry and Volume Estimation of Reservoirs using OLI Imagery

Hassan Habibi Khaveh¹, Mohammad Ali Gholami Sefidkouhi² and Ali Reza Emadi³

1- PhD Student Irrigation and Drainage, Sari Agricultural Sciences and Natural Resources University

2- Associate Professor of Water Engineering Department, Sari Agricultural Sciences and Natural Resources University, (Corresponding author: ma.gholami@sanru.ac.ir)

3- Associate Professor of Water Engineering Department, Sari Agricultural Sciences and Natural Resources University

Received: July 10, 2016

Accepted: December 31, 2017

Abstract

Nowadays using field depth measurement to estimate capacity of water reservoirs is a costly and time consuming method. In this regard, different multiple techniques of remote sensing method has been adopted. In this study, a radiation and reflection based model was introduced to estimating the bathymetry and water capacity of reservoir by images of OLI sensor. For this, at May 17, 2015 water depth was measured each 50 meters in Mahdasht, Sorbon and Dasht-e-naz water reservoirs using Sonar system. All water reservoirs located in Miandoroud plain between latitude of 36°33' and longitude of 53°40' in north east of Sari city, Mazandaran province, Iran. Then, the measurement continued for five more times; on May 26, Aug 5 of 2015 and again on May 28, June 29 and August 23 of 2016 to record depth and precise determination of water capacity. In order to estimate the reservoir capacity image values for blue, green and red band two times more than maximum depth, were classified equally (any given class represents 0.5 meter depth). Subsequently, total volume of reservoir was extracted by a sum of product of number of cells, cell depth index and cell area. Finally, the average relative error and estimated correlation coefficients of volume estimation for 3 mentioned reservoirs in 6 times in blue, green and red bands were 11.19, 4.95, 5.5 and 96, 97 and 98 percent, respectively. Consequently, the use of this method is proposed to measure the volume of reservoirs.

Keywords: Depth Classification, Echo Sounder Pool, Remote Sensing, Radiation, Reflection Model